

# کاهش اثر نوافهٔ تناوبی در تصاویر دیجیتال

## به کمک فیلتر میانهٔ تطبیقی در حوزهٔ فرکانس

پیمان معلم<sup>۱</sup>، مجید بهنام پور<sup>۲</sup> و امیرحسن منجمی<sup>۳</sup>

<sup>۱</sup> گروه مهندسی برق، دانشکدهٔ فنی و مهندسی، دانشگاه اصفهان

<sup>۲</sup> صنایع هوایپما سازی ایران، شاهین شهر اصفهان

<sup>۳</sup> گروه مهندسی کامپیوتر، دانشکدهٔ فنی و مهندسی، دانشگاه اصفهان

### چکیده

نوافهٔ تناوبی، الگو یا الگوهایی ناخواستهٔ تکرار شونده در سراسر تصویر است که منجر به کاهش کیفیت تصویر و ایجاد ساختارهایی متناوب، شبیه هاشور خودگی روی تصویر خواهد شد. در این مقاله ضمن بررسی و مقایسهٔ روش‌های موجود برای کاهش اثر این نوافه، یک فیلتر میانهٔ تطبیقی در حوزهٔ فرکانس با بار محاسباتی قابل قبول پیشنهاد می‌شود. در روش پیشنهادی، فرکانس‌های متناظر با نوافه‌ها و پهنای هر یک به صورت تطبیقی و با توجه به محتوای تصویر تخریب شده در حوزهٔ فرکانس، مشخص می‌شود. سپس فقط برای فرکانس‌های تخریب شده، فیلتر میانه در حوزهٔ فرکانس که از روش‌های مؤثر در کاهش اثر نوافهٔ تناوبی است، اعمال شده و تصویر تصحیح شده، به دست می‌آید. روش پیشنهادی و روش‌های مورد مقایسه در محیط MATLAB پیاده شده و از لحاظ بهبود کیفیت در شرایط مختلف مورد ارزیابی قرار می‌گیرند. سپس به منظور مقایسهٔ پیچیدگی محاسباتی و زمان اجرای الگوریتم‌ها، روش‌های مورد مقایسه توسط کتابخانه OpenCV و زبان برنامه‌نویسی C پیاده‌سازی می‌شوند. مقایسه نتایج در شرایط مختلف نشان می‌دهد که بهبود حاصل شده توسط روش پیشنهادی از سایر روش‌های مورد مقایسه، بیشتر بوده و در عین حال، بار محاسباتی کمتری نیز دارد.

واژگان کلیدی: نوافهٔ تناوبی، فیلتر در حوزهٔ فرکانس، فیلتر میانهٔ تطبیقی.

و مدل آن در تصویر، کمک مؤثری به افزایش بهره‌وری الگوریتم‌های کاهش نوافهٔ تصویری، خواهد کرد. از مدل‌های ریاضی مرسوم نوافه در سیگنال‌ها، نوافهٔ جمع شونده<sup>۳</sup> است که به طور معمول در تصاویر دیجیتال نیز از همین مدل استفاده می‌شود (Gonzalez and Woods, 2007).

هنگامی که نوافهٔ تصویری جمع شونده در حوزهٔ مکان، از یک توزیع خاص آماری (مانند گوسی) که در اکثر موارد نیز چنین فرض می‌شود) تبعیت می‌کند، استفاده از فیلترهای خطی (مانند فیلتر گوسی) که قابل پیاده‌سازی در حوزهٔ مکان و یا فرکانس است، در کاهش اثر نوافه به طور کامل مؤثر است (Szeliski, 2010). گونهٔ دیگری از نوافه تحت عنوان نوافهٔ فلفل نمکی<sup>۴</sup>، که به معنای تغییرات ناگهانی بعضی از پیکسل‌ها به طور کامل سفید و یا سیاه تعبیر می‌شود، به کمک انواع فیلترهای غیرخطی مرتب شده آماری مانند فیلتر میانه<sup>۵</sup> در حوزهٔ مکان، قابل کاهش است (Smolka, 2004).

### ۱- مقدمه

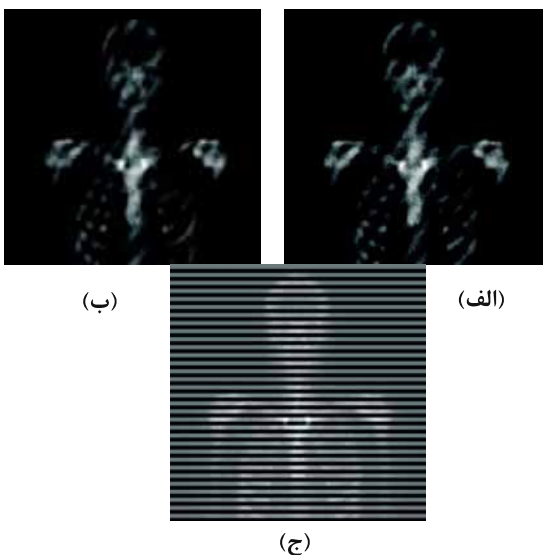
نوافهٔ تصویری<sup>۱</sup>، تغییرات تصادفی در اطلاعات روشنایی یا رنگ در تصاویر دیجیتال است که توسط حس‌گر تصویر برداری، مدارات اسکر و یا توسط دوربین‌های دیجیتال ایجاد می‌شود. در بعضی از موارد، نوافهٔ تصویری محصول جانبی تبدیل تصویر به صورت دیجیتال<sup>۲</sup> است. از آنجایی که نوافهٔ تصویری می‌تواند به طور مؤثری کیفیت تصویر را کاهش دهد، امروزه توجه زیادی به الگوریتم‌های کاهش نوافه در تصاویر دیجیتال می‌شود (Smolka, 2004).

در انتخاب الگوریتم‌های کاهش نوافهٔ تصویری، عواملی مانند قدرت محاسباتی رایانه در دسترس، بیشینهٔ زمان مجاز برای اجرای محاسبات و مصالحة بین حذف نوافه و حذف جزئیات واقعی ناشی از اجرای الگوریتم، لازم است در نظر گرفته شود. علاوه بر این، وجود یک دانش اولیه از ماهیت نوافه

<sup>3</sup> additive noise

<sup>4</sup> salt and pepper

<sup>5</sup> median filter



(شکل ۱): تصویر برداری پرتو X از اسکلت انسان، آلوه شده با نویفهای تناوبی (الف) سراسری ب) محلی و (ج) خطبه خط

نویفهای تناوبی سراسری و محلی، به صورت مجموع توابع سینوسی در حوزه مکان، مدل می‌شوند که در حوزه فرکانس به صورت ستاره‌گونه‌هایی با دامنه فرکانسی بالا نمایان می‌شوند. هاشورزدگی‌های نویفه در حوزه مکان سرتاسر تصویر را فرا گرفته و قابل آشکارسازی و تفکیک از پس زمینه خود نبوده و این عمل در حوزه فرکانس راحت‌تر انجام می‌گیرد. چون نویفه تناوبی سراسر تصویر را فرا گرفته، برای حذف این نویفه در حوزه مکان، در صورت موجود نبودن الگوی نویفه، باید از فیلترهای مکانی مانند فیلتر میانه یا میانگین با اندازه پنجره‌های بزرگ استفاده کرد، که جزیات زیادی از تصویر را از بین می‌برد و یا از فیلترهای مبتنی بر مورفولوژی نرم<sup>۵</sup> استفاده کرد که از روش‌های مورفولوژی استاندارد، عملکرد بهتری دارد (Ji, et al., 2008, Ji, et al., 2007).

در فیلترهای مبتنی بر حوزه فرکانس که برای کاهش اثر این نویفه به کار می‌روند، پیاده‌سازی آن یا به طور کامل در حوزه فرکانس انجام می‌شوند، (مانند فیلتر برشی<sup>۶</sup>، فیلتر میان نگذر<sup>۷</sup> و فیلتر میانگین در حوزه فرکانس و فیلتر میانه در حوزه فرکانس) و یا مانند فیلتر برشی بهینه، از اطلاعات حوزه فرکانس تصویر تخریب شده، استفاده می‌شود. بنابراین استفاده از تحلیل فرکانسی تصویر و اعمال فیلتر در حوزه فرکانس، بخش مهمی از عملکرد فیلترهای به کار رفته برای این منظور می‌باشد.

<sup>۵</sup> soft morphology  
<sup>۶</sup> notch filter  
<sup>۷</sup> band reject filter

از انواع دیگر نویفه تصویری، نویفه تناوبی<sup>۸</sup> است. این نویفه، سیگنال‌های ناخواسته‌ای است که به دلایلی مختلف در تصاویر باعث ایجاد ساختارهای متناوب و تکرار شونده شده و باعث تخریب تصویر می‌گردد و اغلب به صورت هاشورزدگی‌هایی در تصویر ظاهر می‌شود. نویفه تناوبی به سه گروه نویفه تناوبی سراسری<sup>۹</sup>، محلی<sup>۱۰</sup> و هاشورخوردگی خطبه خط<sup>۱۱</sup> طبقه بندی شده است (Drigger, et al., 1999; Castelli and Bergman 2002; Schowengerdat, 1997).

نویفه تناوبی سراسری یک نمونه تکرارشونده و مزاحم روی تصویر است که سراسر تصویر را فرا می‌گیرد. یک منبع ایجاد آن تداخلات الکترونیکی از تجهیزات گیرنده و فرستنده اطلاعات می‌باشد. منبع دیگر آن اختلاف در تنظیمات بین آشکارسازها و اسکنرها می‌باشد. همچنین این دسته از نویفه در تصاویر تلویزیونی ضعیف به‌خاطر مکانیکی قرارگیری دستگاه‌های تصویر برداری و لرزش‌های مکانیکی حاصله، به طور مثال در فضایمایها یا کشتی‌ها ایجاد می‌شود. ناپایداری و بی ثباتی حرارتی عناصر اپتیکی و بهره مدارات الکترونیکی در سنسورهای نوری و مرورگرهای الکترونیکی و نیز وجود تداخل سیگنال‌ها نیز، از عوامل مؤثر در بروز این دسته از نویفه است (Drigger, et al. 1999).

آن نویفه، محلی است که تکرارشونده و متناوب بوده، اما دامنه، فاز یا فرکانس نویفه، تابعی از مکان در تصویر می‌باشد (Schowengerdat, 1997).

حساسیت نابرابر آشکارسازها و

فاکتورهای الکترونیکی مدارات مربوطه، باعث ایجاد نوع سوم یعنی نویفه خطبه خط در تصویر بردارهای چندحس‌گری، می‌شود. تعداد آشکارسازهای موجود در اسکنرها یک تصویر بردار فضایی، دوره تناوب این هاشورخوردگی را تعیین می‌کند (Castelli and Bergman, 2002).

نمونه‌هایی از سه نمونه نویفه تناوبی دیده می‌شود.

با توجه به مشخص بودن موقعیت مکانی حس‌گر در یک سیستم چند حس‌گری، موقعیت مکانی نوارهای نویفه خطبه خط، در تصویر از قبل مشخص بوده و با روش‌های ساده مکانی مانند: همانند کردن متوسط و واریانس توزیع سطوح خاکستری در نوارهای مختلف، این نویفه به طور مؤثری قابل کاهش است (Castelli and Bergman, 2002).

برخلاف این نوع نویفه، از روش‌های ساده مکانی نمی‌توان برای کاهش اثر نویفه تناوبی سراسری و محلی استفاده کرد.

<sup>۸</sup> periodic noise

<sup>۹</sup> global periodic noise

<sup>۱۰</sup> local periodic noise

<sup>۱۱</sup> striping



موجود در متن به صورت نویه شبه تناوبی دیده می شود، مناسب نوده و حذف نویه این گونه تصاویری که حاوی نویه شبه تناوبی باشد، به دلیل سختی تشخیص جزییات اصلی تصویر کار مشکلی است. در این مقاله و روش پیشنهادی، فرض کردہ ایم که اصل تصویر خود حاوی ساختاری شبه تناوبی نمی باشد. از طرفی روش پیشنهادی، و روش های مورد مقایسه، برای نویه تناوبی خط به خط که مؤلفه های فرکانس نویه تناوبی در آن، تا مؤلفه های اصلی تصویر گسترش می یابند، نیز مناسب نمی باشند و همان طور که در قبل نیز گفته شد، روش های مکانی برای نویه های تناوبی خط به خط، مؤثرتر خواهند بود.

## ۲- مروری بر روش های حوزه فرکانس

### ۲-۱- فیلتر میان نگذر

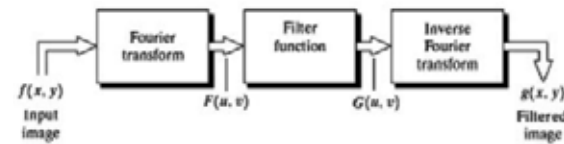
استفاده از فیلتر های میان نگذر در حوزه فرکانس به عنوان راه حلی برای کاهش اثر نویه های تناوبی که شکل ساده ای دارد و فقط حاوی یک سینوسی مزاحم و درنتیجه فقط دو مؤلفه متقارن حول مرکز فرکانس می باشد، بیان گردیده است (Gonzalez and Woods, 2007)، که با صفر کردن دامنه فرکانسی پیکسل هایی که در حوزه فرکانس بین دو حلقه باند فیلتر قرار گیرند، باعث حذف مؤلفه های نویه می شوند. اما این فیلتر باعث حذف جزییاتی از تصویر اصلی می گردد و بنابراین در عمل که تصویر، آلوده به چندین نویه با فرکانس ها و پهنای باندهای مختلف است، مشکلاتی ایجاد خواهد کرد.

### ۲-۲- فیلتر برشی

فیلتر های برشی برای حذف قسمت آلوده به نویه و صفر کردن مؤلفه های فرکانسی در همسایگی از مرکز فرکانسی نویه، با شکلی مناسب که به طور کامل ستاره گونه، نویه را پیوشنده، به کار می رود (Aizenberg and Butakoff, 2008). در تصاویر آلوده شده به چندین نویه تناوبی با فرکانس های مختلف باید از فیلتر برشی با پهنای باندها یا اندازه های مختلف استفاده کرد که تعیین خود کار تعداد فیلتر های برشی، فرکانس های هر یک و پهنای باند آن ها، می تواند مشکلاتی را ایجاد کند. (شکل ۳) مراحل پیاده سازی یک فیلتر برشی را برای کاهش اثر نویه تناوبی که شامل دو مؤلفه سینوسی در حوزه مکان است نشان می دهد. انتخاب فرکانس های متناظر با نویه تناوبی و محدوده هر یک، به صورت دستی انجام شده است.

در فیلتر هایی که پیاده سازی آن ها فقط در حوزه فرکانس است، پس از گسسته سازی تصویر، تبدیل فوریه گسسته تصویر محاسبه شده و اعمال فیلتر در حوزه فرکانس انجام می شود. سپس با محاسبه تبدیل فوریه گسسته معکوس، تصویر فیلتر شده در در حوزه مکان به دست خواهد آمد.

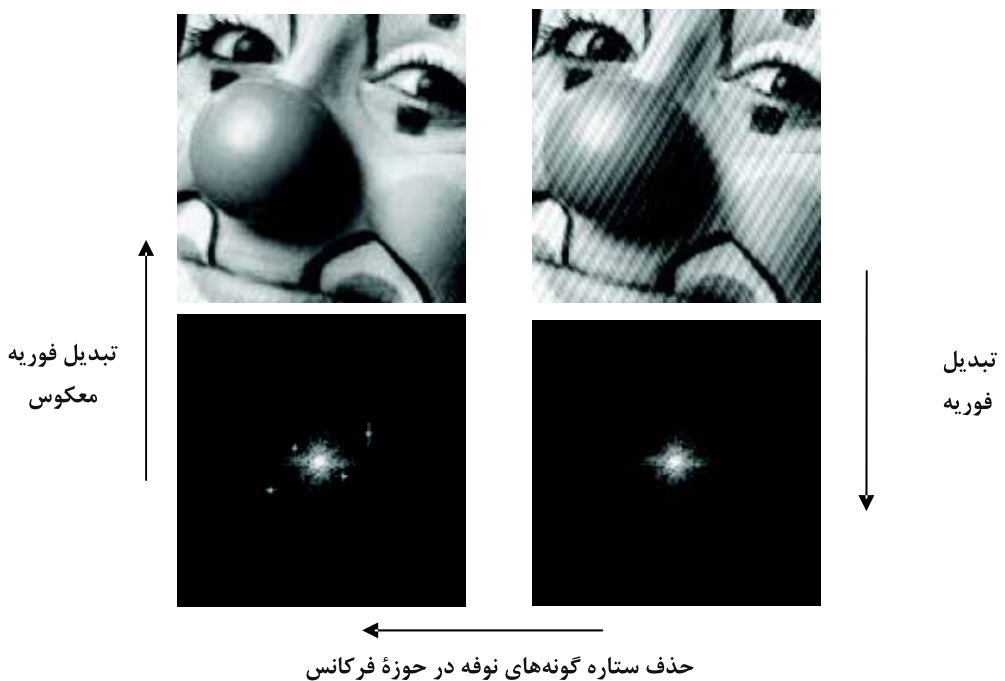
تبدیل فوریه گسسته، روشی مناسب برای نمایش فرکانسی یکتابع گسسته می باشد. به علت حجم محاسبات تبدیل فوریه گسسته، برای تسريع به طور معمول از تبدیل فوریه سریع استفاده می شود. تحقق بعضی عملیات در فضای فوریه راحت تر و سریع تر انجام می شود. تبدیل کانولوشن در فضای مکان، که به صورت اعمال پاسخ ضربه فیلتر روی تک تک نقاط (به شکل ضرب و جمع) پیاده می شود، در فضای فوریه با ضرب پاسخ فرکانسی فیلتر در تبدیل فوریه تصویر و محاسبه تبدیل معکوس نتیجه، به راحتی قابل انجام است. اساس عملکرد فیلتر در حوزه فرکانس، در (شکل ۲) آمده است (Gonzalez and Woods, 2007).



(شکل ۲): مراحل اجرای فیلتر در حوزه فرکانس

در قسمت بعدی ابتدا مروری بر روش های موجود برای کاهش نویه تناوبی در حوزه فرکانس، انجام شده و سپس این روش ها مورد نقد قرار می گیرند. سپس به منظور کاهش اثر نویه تناوبی، فیلتری به نام فیلتر میانه تطبیقی در فضای فرکانس پیشنهاد خواهد شد که از لحاظ کارآیی با دو دیدگاه بهبود کیفیت ایجاد شده (از لحاظ چشمی و همچنین توسط پارامترهای آماری) و پیچیدگی محاسباتی با فیلتر میانه در حوزه فرکانس و میانگین در حوزه فرکانس، مقایسه می گردد. در ادامه فیلتر پیشنهادی و فیلتر های مورد مقایسه، به کمک کتابخانه OpenCV که شامل توابعی برای پیاده سازی الگوریتم های مختلف بینایی ماشین و پردازش تصویر می باشد، به زبان C و در محیط Visual C ++ پیاده شده و نتایج آن ها از لحاظ زمان اجرا، مورد مقایسه قرار می گیرند.

مصالحه بین حذف نویه و حذف جزییات واقعی در انتخاب الگوریتم، نکته ای حائز اهمیت است. فیلتر های موجود و فیلتر پیشنهادی برای موقعی که اصل تصویر، خود حاوی نویه شبه تناوبی است؛ مثل متون چاپی، که تناوب



حذف ستاره‌گونه‌های نوشه در حوزه فرکانس

(شکل ۳): شکل دلخواه آلوده به نوشه تناوبی با چهار قله فرکانسی (دو سینوسی در حوزه مکان) و مراحل حذف آن توسط فیلتر برشی در حوزه فرکانس

#### ۴-۲- فیلتر میانه در حوزه فرکانس

فیلتر میانه در حوزه فرکانس با لغزاندن پنجرهای روی طیف تصویر، مقدار میانه را برای هر پنجره یافته و از مقایسه نسبت مقدار دامنه فرکانس مرکزی پنجره به مقدار میانه محاسبه شده در آن پنجره با یک مقدار آستانه پی به آلوده بودن پیکسل می‌برد. (Aizenberg and Butakoff, 2002) اگر این نسبت از آستانه بزرگ‌تر باشد، آن‌گاه پیکسل مورد بررسی، آلوده به نوشه محسوب شده و مقدار میانه جایگزین آن می‌گردد و در غیر این صورت بدون تغییر باقی ماند. رابطه (۱) تحقق این فیلتر را نشان می‌دهد.

$$Y_{ij} = \begin{cases} MED(X_{ij}) & \text{if } \frac{X_{ij}}{MED(X_{ij})} \geq \theta \text{ and } (i, j) \neq (0, 0) \\ X_{ij} & \text{otherwise} \end{cases} \quad (1)$$

در این رابطه  $X_{ij}$ ، مقدار دامنه متناظر با فرکانس مکانی  $(i, j)$  و  $Y_{ij}$  مقدار دامنه فرکانسی حاصله پس از اعمال فیلتر می‌باشد.  $MED(X_{ij})$  مقدار میانه در پنجره محلی فیلتر و  $\theta$  مقدار آستانه است. همان‌طور که در رابطه (۱) مشخص شده است، روی ضریب طیفی  $X_{00}$  فیلتر اعمال انجام نمی‌شود، زیرا این فرکانس بیان‌گر میانگین روشنایی تصویر بوده و تنها قله‌ای است که باید بدون تغییر باقی بماند.

#### ۳-۲- فیلتر برشی بهینه

روشی نیز برای بهینه‌کردن فیلتر برشی وجود دارد، که به عنوان فیلتر برشی بهینه معروفی گردیده است (Gonzalez and Woods, 2007) واریانس محلی تصویر فیلتر شده عمل می‌کند. این کار ابتدا شامل جدا کردن شکل نوشه و سپس کسر کردن نسبتی از شکل نوشه از تصویر آلوده شده، می‌باشد.

در این روش ابتدا الگوی نوشه تناوبی از حوزه فرکانس مشخص شده و سپس وزنی از الگوی تناوبی از تصویر اصلی کاسته شده و تصویر بدون نوشه بازسازی می‌شود. مرحله اول، یعنی به دست آوردن شکل صحیحی از نوشه در حوزه فرکانس و با جدا کردن مؤلفه‌های فرکانسی اصلی شکل نوشه از تصویر آلوده شده، انجام می‌گیرد. این کار را می‌توان با قرار دادن یک فیلتر برشی عبوری<sup>۱</sup> در مکان هر قله نوشه انجام داد و سپس با تبدیل فوریه معکوس، شکل الگوی تناوبی در حوزه مکان مشخص می‌شود. در مرحله دوم ضریبی از نوشه تناوبی به دست آمده از تصویر کم شده و تصویر نهایی به دست می‌آید. ضریب کاسته شده که در یک پنجره، ثابت در نظر گرفته می‌شود، به گونه‌ای محاسبه می‌شود که واریانس تصویر خروجی، کمینه گردد (معلم و بهنام پور، ۱۳۸۶).

$$s_{kl} = \frac{\sum_{i=-N/2}^{N/2} \sum_{j=-N/2}^{N/2} m_{ij} |X_{k+i, l+j}|}{T} \quad (\dagger)$$

معیار تعیین مؤلفه نویه‌ای با رابطه (۴) مشخص می‌شود که در اینجا  $\theta$  مقدار آستانه است که با تحلیل طیف انتخاب می‌شود. در واقع این مقدار با توجه به میزان آلوده بودن تصویر و قدرت حذف نویه فیلتر، تعیین می‌شود.

$$\frac{X_{kl}}{S_{kl}} > \theta \quad (\dagger)$$

بنابراین هر مؤلفه فرکانسی  $(k, l)$  با مقدار  $a_{k,l} X_{k,l}$  که در رابطه (۴) صدق کند، به عنوان یک قله نویفه شناخته شده و دامنه آن باید محدود شود. تحقق فیلتر میانگین در حوزه فرکانس توسعه رابطه (۵) بیان می‌شود.

$$Y_{ij} = \begin{cases} \frac{X_{ij}}{\delta} & \text{if } \frac{X_{kl}}{S_{kl}} > \theta \quad \text{and } (i, j) \neq (0, 0) \\ X_{ij} & \text{otherwise} \end{cases} \quad (\Delta)$$

که در این رابطه  $\delta$  برای کاهش اثر نوافه تناوبی اعمال شده که انتخاب آن وابسته به نسبت میزانی است که لازم است، قله نوافه محدود شود. این فیلتر در حذف نوافه تناوبی وقتی در حوزه فرکانس بسیار تیز بوده، خوب عمل کرده ولی وقتی نوافه در حوزه فرکانس پهن باشد، اثر آن کاهش یافته و قسمت‌هایی از نوافه باقی می‌ماند. یک تخمین مناسب برای اندازه پنجره متوسط‌گیری،  $3 \times 3$  و برای آستانه  $\theta = 4$  است (Aizenberg, et al., 2002).

## ۳- نقد روش‌های موجود و ارایه راهکاری مناسب

در فیلتر میان نگذر و برشی، فرض بر آن است که فرکانس‌های متناظر با نوفة تناوبی و محدوده آن از قبل مشخص است. فرض مشخص بودن فرکانس‌های نوفة تناوبی، عامل محدود کننده در این فیلترها بوده و در عمل به این دلیل از آن‌ها کم‌تر استفاده می‌شود. در مورد فیلترهای میانه و میانگین در حوزه فرکانس، مشکل یافتن فرکانس‌های متناظر با نوفة تناوبی تا حدی حل شده است، ولی تعدادی پارامتر در الگوریتم وارد شده که انتخاب نادرست آن‌ها، منجر به کاهش شدید کیفیت تصویر خروجی خواهد شد. بنابراین، به نظر می‌رسد مشکل عمده روش‌های موجود در انتخاب فرکانس‌های متناظر با نوفة تناوبی است. در این مقاله راهکاری مناسب برای حل این مشکل با تحلیل طیف تصویر آلوهه شده به نوفة تناوبی ارائه می‌شود. در این راهکار، طیف تصویر آلوهه شده، همانند یک تصویر سطح خاکستری

سال ۱۳۸۹ شماره ۲ پیاپی ۱۴

اندازه پنجره های مناسب فیلتر میانه فرکانسی  $5 \times 5$ ،  $7 \times 7$ ،  $9 \times 9$  و  $11 \times 11$  پیشنهاد شده، که واپسی به اندازه پهنه ای باند اشغالی نو فه و به طور کامل تجربی، انتخاب می گردد. مقدار آستانه نیز برای اندازه فیلتر  $5 \times 5$  و  $7 \times 7$  عدد ۳ و برای اندازه های بزرگ تر مقدار ۶ پیشنهاد شده است (Aizenberg and Butakoff, 2002). از معایب این فیلتر انتخاب تجربی اوئیه پارامتر های آستانه و اندازه پنجره فیلتر می باشد. از آن جایی که مقدار میانه برای همه فرکانس های تصویر باید محاسبه شود (رابطه ۱)، پیچیدگی محاسباتی تحقق این فیلتر بالا بوده و با توان دوم ابعاد پنجره میانه، افزایش می پاید.

## ۲-۵- فیلتر میانگین در حوزه فرکانس

فیلتر میانگین ماسک شده (Aizenberg, et al., 2002) یک ایده دیگر برای کاهش اثر نوافه تناوبی و با تحلیل دامنه طیف  $N \times N$  فرکانسی تصویر با استفاده از پنجره لغزندۀ با اندازه  $N \times N$  انجام می‌گیرد. برای این‌که مشخص شود کدام یک از المان‌های واقع در پنجره برای انجام محاسبه انتخاب می‌شود، ماسکی از قبیل تعریف می‌شود. این ماسک، یک ماتریس باینری و ابعاد  $N \times N$  می‌باشد. پنجره‌های محلی باید با ماسک مورد نظر پوشانیده شده و اگر المانی از ماسک متناظر با مقدار دامنه طیف فرکانسی در پنجره محلی برابر با یک بود، آن‌گاه مقدار دامنه طیفی این پیکسل در محاسبه میانگین محلی در نظر گرفته می‌شود. المان مرکزی پنجره محلی باید در محاسبه میانگین محلی در نظر گرفته نشود، زیرا ممکن است به علت نوافه تناوبی آلوده باشد. بنابراین المان مربوطه به آن را در ماسک برابر صفر قرار می‌دهیم.

ابطه (۲)، ماتریس ماسک  $M$  انشان می‌دهد.

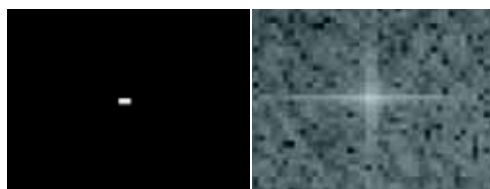
$$M = \begin{bmatrix} m_{00} & \cdot & \cdot & \cdot & m_{0,N-1} \\ \cdot & & & & \cdot \\ \cdot & 0 & & & \cdot \\ \cdot & & \cdot & & \cdot \\ m_{N-1,0} & \cdot & \cdot & \cdot & m_{N-1,N-1} \end{bmatrix} \quad (7)$$

برای دامنه طیف  $\lambda_k$ , مقدار میانگین  $S_{k,k}$  توسط رابطه (۳) محاسبه می‌شود که  $M$  ماتریس ماسک (رابطه ۶) تعادل المان‌های غیر صفر در  $M$  می‌باشد.

تشخیص داده شده و از تصویر طیف، تقطیع می‌شوند. بعد از آن با کمک الگوریتم برچسب‌گذاری اجزا، هر قسمت از سایر بخش‌ها جدا شده و سپس از یک الگوریتم رشد ناحیه در حوزهٔ فرکانس که توضیح داده خواهد شد، برای پیدا کردن کلیه مؤلفه‌های مربوط به نویف اطراف این پیک فرکانسی استفاده می‌شود. بعد از یافتن کلیه فرکانس‌های متناظر با نویفهٔ تناوبی، از فیلتر میانه در حوزهٔ فرکانس به عنوان یکی از بهترین فیلترها از لحاظ اثرگذاری در کاهش نویفهٔ تناوبی که در قسمت قبلی توضیح داده شد، برای کاهش نویفهٔ تناوبی استفاده می‌شود. در قسمت بعدی، جزئیات الگوریتم پیشنهادی در مشخص کردن فرکانس‌های متناظر با نویفهٔ تناوبی، تشریح می‌گردد.

## ۴- یافتن مکان و پهنهٔ فرکانسی معادل با نویفهٔ تناوبی

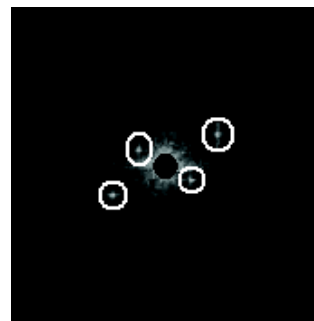
نویفهٔ تناوبی در حوزهٔ فرکانس از جفت قله‌های فرکانسی متقارن از مرکز تشکیل شده است که تک فرکانسی نبوده و شبیه ستاره‌گونه‌ها یا قله‌هایی رفیع نمایان می‌شوند. در حوزهٔ مکان، نویفه که به صورت هاشورهایی دیده می‌شود از پس زمینهٔ خود قابل آشکارسازی و استخراج نمی‌باشد. در این قسمت ما با کمک یک آستانهٔ پیشنهادی فقط مکان فرکانس مرکزی هر ستاره‌گونه نویفه را در حوزهٔ فرکانس می‌یابیم. (شکل ۵) بزرگنمایی نمونه‌ای از محل ستاره‌گونه نویفه و مکان یافته شده توسط آستانه‌گذاری را نشان می‌دهد.



(شکل ۵): بزرگنمایی در محل ستاره‌گونه (شکل راست) و پیکسل‌های مرکزی یافته شده (شکل چپ)

الگوریتم محاسبه آستانهٔ پیشنهادی به صورت جداگانه در بخش بعد آمده است. ممکن است در حوزهٔ فرکانسی، مؤلفه‌های فرکانسی مربوط به پس زمینه و قسمت‌هایی ارام تصویر که به طیف DC تصویر معروف است، با ستاره‌گونه‌های نویف اشتباہ گردد. بنابراین باید قسمتی از مرکز طیف فرکانسی را که با  $R_{LF}$  نمایش می‌دهیم محاسبه کرده و فیلتر را در این قسمت اعمال نکنیم. روش محاسبه شعاع این قسمت نیز در قسمت محاسبه آستانه، تشریح خواهد شد.

فرض شده و از روش‌های بینایی ماشینی مانند تقطیع<sup>۱</sup> به روش آستانه‌گذاری<sup>۲</sup>، برچسب‌گذاری اجزا<sup>۳</sup> و رشد ناحیه<sup>۴</sup> برای مشخص کردن فرکانس‌های متناظر با نویفهٔ تناوبی استفاده می‌شود. اگر به شکل طیف تصویر آلووه به نویفهٔ تناوبی در (شکل ۳) دقّت شود، این تصویر همانند تصاویر طیف مادون قرمز از اهداف دور است، که اهداف در آن با نقاطی روشی، مشخص شده‌اند؛ منتهی لازم است که محدوده مرکز تصویر که متناظر با فرکانس‌های پایین در تصویر است، به نوعی حذف شود. (شکل ۴) تصویر طیف (شکل ۳) را نشان می‌دهد که قسمت مؤلفه‌های فرکانس پایین آن حذف (سیاه) شده و فرکانس‌های متناظر با نویفهٔ تناوبی، هم‌چون اهداف گرم در تصاویر مادون قرمز، مشخص شده‌اند. پس از تقطیع تصویر و مشخص کردن فرکانس‌های متناظر با نویفهٔ تناوبی، از روش‌های رشد ناحیه می‌توان برای مشخص کردن محدوده تأثیر فرکانس نویفهٔ تناوبی، استفاده کرد که در روش پیشنهادی نیز از آن استفاده شده است.



(شکل ۴): تصویر طیف تصویر آلووه به نویفهٔ تناوبی مانند یک تصویر مادون قرمز حاوی اهدافی کوچک و گرم

در روش پیشنهادی، پس از مشخص شدن فرکانس‌های متناظر با نویفهٔ تناوبی و محدوده آن، از روش فیلتر میانه در حوزهٔ فرکانس برای کاهش اثر این نویفه استفاده خواهد شد، از آن جایی که انتخاب فرکانس‌های متناظر با نویفهٔ تناوبی با توجه به محتوی طیف انجام می‌شود، نام فیلتر میانه تطبیقی در حوزهٔ فرکانس، برای آن انتخاب شده است.

خلاصه روش پیشنهادی به این صورت است که ابتدا آستانه‌ای تطبیقی در حوزهٔ فرکانس جهت تشخیص مرکز ستاره‌گونه‌های متناظر با نویفهٔ تناوبی، که از قلهٔ بالاتری برخوردار است، پیشنهاد شده و به کمک آن و با مرور تمامی فرکانس‌ها در حوزهٔ فرکانس، به جز محدوده متناظر با مرکز که متعلق به محتوای فرکانسی پایین در تصویر و نواحی نسبتاً یکنواخت است، که در (شکل ۴) با دایرهٔ سیاه در مرکز مشخص شده، مکان مؤلفه اصلی و مرکزی ستاره‌گونه‌ها

<sup>1</sup> segmentation

<sup>2</sup> thresholding

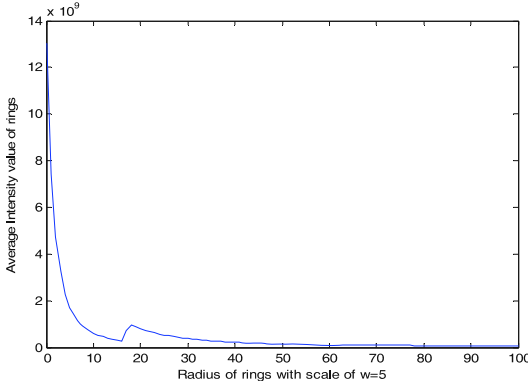
<sup>3</sup> component labeling

<sup>4</sup> region growing



مکان است، خواهد بود. در ادامه یک قله فرکانسی دیده می‌شود که به خاطر وجود نویه تناوبی و مؤلفه فرکانسی مزاحم مربوطه به وجود آمده است. در انتخاب شعاع دایره میانگین برای حذف مؤلفه‌های فرکانس پایین در محاسبه آستانه، می‌توان از این نمودار استفاده کرد. به این منظور باید مکان درّه بین این دو قله را یافت. بدین منظور با افزایش شعاع حلقه‌ها از مرکز حوزه فرکانس، مقدار هر میانگین اندازه مؤلفه‌های فرکانسی به دست آمده را که در رشته‌ای ذخیره نموده‌ایم با دو مقدار قبل و دو مقدار بعد از خود مقایسه کرده و اگر از این مقادیر کمتر بود، به عنوان شعاع دایره میانگین در محاسبه آستانه در نظر می‌گیریم. برای اطمینان می‌توان مقادیر فرکانس‌های مجاور دو فرکانس قبلی و بعدی را نیز در مقایسه، در نظر بگیریم. شعاع به دست آمده از این روش، همان  $R_{LF}$  می‌باشد.

انتخاب شعاع انتخابی حلقه‌ها در نتیجه محاسبه  $R_{LF}$  جایه‌جایی کمی را ایجاد کرده، ولی محاسبه  $R_{LF}$  با این تقریب در نتیجه نهایی محاسبه آستانه، یعنی انتخاب شعاع دایره میانگین تصویر برای محاسبه  $A_{max}$  حساسیت چندانی ایجاد نمی‌کند. محاسبه  $A_{mean}$  نیز مستقل از  $R_{LF}$  می‌باشد.



(شکل ۶): میانگین دامنه فرکانسی حلقه‌هایی با عرض  $w=5$  بر حسب شعاع از مرکز با مقیاس  $w=5$

### ۳-۴- محاسبه $A_{mean}$

به منظور حذف اثر مؤلفه‌های فرکانس پایین در محاسبه مقدار متوسط،  $A_{mean}$  در محدوده فرکانس‌های بالا محاسبه می‌شود. از طرفی لازم است  $A_{mean}$  در ناحیه‌ای محاسبه گردد که مؤلفه نویه تناوبی در آن وجود نداشته باشد، برای این منظور چهار ربع دایره در نواحی فرکانس‌های بالایی چهار گوشۀ حوزه فرکانس به شعاع کمتری، برابر با نصف فاصله از گوشۀ تا وسط ضلع کوچک‌تر در نظر گرفته شده و مقدار میانگین دامنه ( $A_{mean}$ ) در آن‌ها محاسبه می‌شود. انتخاب میزان این شعاع در نتایج بسیار حساس نیست ولی مقدار در نظر گرفته شده در روش پیشنهادی به گونه‌ای است سال ۱۳۸۹ شماره ۲ پیاپی ۱۴

### ۴- محاسبه آستانه در روش پیشنهادی

محاسبه مقدار آستانه جهت یافتن فرکانس‌های متناظر با نویه تناوبی که لازم است به صورت تطبیقی و با توجه به محتوای فرکانسی تصویر انجام شود، از مهم‌ترین مراحل الگوریتم پیشنهادی است. آستانه‌گذاری در بحث پردازش تصاویر دیجیتال و بینایی ماشین (Snyder, 2002) کاربردهای متعددی دارد که یکی از موارد آن، جداسازی هدف از پس‌زمینه به منظور ردیابی اهداف است (معالم و شائمی، ۱۳۱۶). روش پیشنهادی برای محاسبه آستانه، بر مبنای روشی است که در تقطیع هدف در تصاویر مادون قرمز استفاده می‌شود (Venkateswarlu, et al., 1992). در تصاویر مادون قرمز، به علت بالا بودن دمای هدف نسبت به پس‌زمینه، هدف در تصویر، روش‌تر از پس‌زمینه دیده می‌شود. دقیق‌تر کنید که در تصاویر آلوده به نویه تناوبی نیز نقاط نویه تناوبی، بسیار روش‌تر از سایر نقاط بوده و مشابه هدف در تصاویر مادون قرمز خواهد بود. در روش پیشنهادی لازم است بیشینه دامنه در حوزه فرکانس ( $A_{max}$ ) و متوسط دامنه در حوزه فرکانس ( $A_{mean}$ ) محاسبه و مقدار آستانه (۴) از رابطه ( $A_{Thr}$ ) محاسبه گردد.

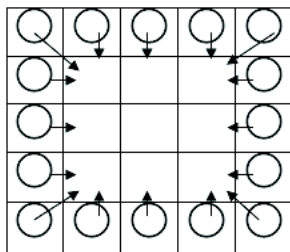
$$A_{Thr} = (A_{max} + A_{mean}) / 2 \quad (4)$$

به علت وجود مؤلفه فرکانس پایین در تصاویر عادی که ناشی از نواحی به طور تقریبی یکنواخت در حوزه مکان است، لازم است مقدار بیشینه ( $A_{max}$ ) از کل تصویر به جز دایره‌ای در مرکز که آن را  $R_{LF}$  می‌نامیم و شامل مؤلفه‌های فرکانس پایین است، محاسبه گردد. در روش پیشنهادی فرض شده که نویه تناوبی دارای مؤلفه‌های بالاتری از مؤلفه‌های فرکانس پایین است که به طور عمده ناشی از اطلاعات تصویر اصلی است و بنابراین نویه تناوبی در داخل دایره مرکزی با شعاع  $R_{LF}$  مؤلفه ندارد. این فرض بدان معنا است که لازم است نویه تناوبی، فرکانس پایین نباشد.

### ۲-۴- محاسبه $R_{LF}$

روش پیشنهادی جهت محاسبه  $R_{LF}$  به این صورت است که از مرکز حوزه فرکانسی به طرف خارج، حلقه‌هایی به شعاع انتخابی ( $w$ ) ۳ یا ۵ یا ۷ انتخاب کرده و میانگین مجموع اندازه مؤلفه‌های فرکانسی هر حلقة محاسبه می‌شود. نمونه‌ای از این رشتۀ برای یک تصویر آغشته به نویه تناوبی برحسب فاصله از مرکز با شعاع انتخابی  $w=5$  در نمودار (شکل ۶) رسم شده است. شدت میانگین فرکانسی بالای اوّلیه یعنی در شعاع نزدیک به مرکز، بیان گر فرکانس‌های پایین تصویر که حاصل از قسمت‌های یکنواخت تصویر اصلی در حوزه

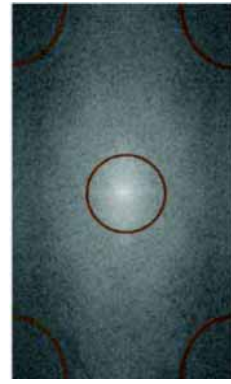
اطراف فرکانس مرکزی نوفه انتخاب می‌کنیم. همچنین مربعی با یک اندازه بزرگ‌تر یعنی  $5 \times 5$  نیز انتخاب کرده و سپس شدت پیکسل‌های محیطی مجاور همدیگر از مربع کوچک‌تر و بزرگ‌تر را با همدیگر مقایسه می‌کنیم. (شکل ۸) پیکسل‌های مجاور را نشان می‌دهد. متغیر  $z$  با مقدار اوّلیه صفر و همچنین تصویر ماسک به اندازه تصویر اصلی و با مقدار اوّلیه  $1'$  برای مربع  $3 \times 3$  و مقدار  $0'$  برای مابقی نقاط انتخاب می‌کنیم. هرگاه شدت پیکسل مربع بزرگ‌تر از شدت پیکسل مجاورش در مربع کوچک‌تر بیشتر باشد، متغیر  $z$  یک واحد افزایش یافته و پیکسل مشابه مختصات آن در تصویر ماسک مقدار  $1'$  می‌گیرد و در غیر این صورت  $0'$  می‌شود. در مورد پیکسل‌های گوشه‌ای مربع‌ها، همان‌طور که در (شکل ۸) دیده می‌شود، باید هر سه پیکسل گوشه‌ای از مربع بزرگ‌تر را با تنها پیکسل گوشه‌ای مربع کوچک‌تر مقایسه کرد.



(شکل ۸): پیکسل‌های محیطی مربع بزرگ‌تر و معین کردن جفت پیکسل‌هایی از مربع بزرگ‌تر با کوچک‌تر که باید مقایسه گردند. این شیوه، به صورت ترتیبی برای هر دو مربع مجاور تکرار می‌شود؛ با این تفاوت که در مقایسه هر دو پیکسل مجاور، ابتدا پیکسل مشابه مختصات پیکسل مربع کوچک‌تر را در تصویر ماسک کنترل کرده و اگر مقدار یک را داشته باشد، عمل مقایسه برای این دو پیکسل را ادامه می‌دهیم؛ و در غیر این صورت مقایسه این دو پیکسل را رها کرده و روش را برای مابقی پیکسل‌های مجاور ادامه می‌دهیم. در پایان مرحله مقایسه پیکسل‌های مجاور هر دو مربع مجاور، متغیر  $z$ ، تعداد پیکسل‌های محیطی مربع بزرگ‌تر را که از شدت بیشتری در مقایسه با شدت پیکسل‌های مجاور خود در مربع کوچک‌تر برخوردار بودند، نشان می‌دهد یا با دید بهتری می‌توان گفت، تعداد پیکسل‌های محیطی آلوده به نوفه مربع بزرگ‌تر را نشان می‌دهد. هر زمان در پایان مقایسه هر دو مربع مجاور، متغیر  $z$  کمتر از نیمی از تعداد کل پیکسل‌های محیطی مربع بزرگ‌تر باشد، حلقة تکرار پایان یافته و نقاطی از تصویر ماسک که مقدار  $1'$  را گرفته‌اند، بیان گر مؤلفه‌های فرکانسی نوفه تناوبی می‌باشند. (شکل ۹) بزرگ‌نمایی شده نمونه‌ای از تصویر ماسکی را که روی فرکانس نوفه تناوبی قرار گرفته نشان می‌دهد.

که با توجه به ابعاد تصویر، به راحتی قابل محاسبه باشد. البته به خاطر تقارن فرکانسی می‌توان تنها دو کمان از گوشه‌های بالایی یا پایینی تصویر را برای محاسبه  $A_{\text{mean}}$  استفاده کرد که بار محاسباتی کمتری را نیاز خواهد داشت.

(شکل ۷)، نمونه‌ای از طیف یک تصویر به همراه نمایش شعاع کمانی از گوشه‌های تصویر و شعاع مرکزی ( $R_{LF}$ ) را برای یک تصویر نمونه نشان می‌دهد.



(شکل ۷): نمایش شعاع کمانی از گوشه‌های تصویر و شعاع مرکزی ( $R_{LF}$ ) برای یک تصویر نمونه

هنگامی که نوفه تناوبی شامل مؤلفه‌های فرکانس پایین باشد که به مرکز حوزه فرکانس و مؤلفه‌های فرکانس پایین تصویر نزدیک است، حذف نوفه بسیار مشکل خواهد بود. چون در هنگام اصلاح اثر نوفه، قسمت DC یا فرکانس پایین تصویر نیز حذف و در حوزه مکان، تصویر تیره شده و از شدت متوسط پیکسل‌ها بسیار کاسته می‌شود.

#### ۴-۴- یافتن تصویر ماسک

شکل نوفه تناوبی در حوزه فرکانس شبیه یک قله رفیع یا یک ستاره است. دامنه مؤلفه‌های فرکانسی نوفه در طیف توان از بقیه نقاط بیشتر است. بنابراین شدت سطح خاکستری آن‌ها بالاتر و مؤلفه‌های مربوط به نوفه، سفید رنگ دیده می‌شوند. شدت روش‌نایی پیکسل‌های مرکزی در شکل نوفه از نقاط همسایگی اش بیشتر است و این شدت از مرکز به سمت کناره‌ها به صورت نزولی کاهش می‌پابد. الگوریتم روش پیشنهادی برای پیدا کردن پهناهی باند اشغالی نوفه یا تصویر ماسک که به طور دقیق مؤلفه‌های مربوط به نوفه را نشان دهد، الگوریتمی بر مبنای رشد ناحیه (Szeliski, 2010) است. فرض شده که توزیع نوفه تناوبی در فضای فرکانس دارای یک مؤلفه اصلی است که به تدریج کاهش می‌یابد. هدف از این الگوریتم، یافتن ماسکی در اطراف فرکانس نوفه تناوبی است که کلیه فرکانس‌های نوفه تناوبی را با  $1'$  و فرکانس‌های غیر نوفه‌ای را با  $0'$  نشان دهد. به علت وجود پخش‌شدگی اطراف مؤلفه اصلی در روش پیشنهادی، ابتدا کوچک‌ترین مربع، یعنی یک مربع  $3 \times 3$

برای مقایسه بهبود کیفیت ایجاد شده به صورت چشمی، به علت نزدیکی تصاویر فیلتر شده از لحاظ کاهش اثر نوافه تناوبی و برای مقایسه بهتر نتایج، مناسب است که تصویر فیلتر شده، همسان‌سازی هیستوگرام شود. برای مقایسه کمی سه فیلتر مورد مقایسه، از روش آماری میانگین خطای مطلق ( $MAE^1$ ) بین تصاویر اصلی و اصلاح شده و برای ضرایب مختلف دامنه نوافه در تصویر اصلی، استفاده شده است. اگر  $N$  و  $M$  ابعاد تصویر  $(x, y)$  و  $f_e(x, y)$  و  $g_e(x, y)$  در بهترین تصویر بدون نوافه تناوبی و تصویر فیلتر شده در نقطه  $(x, y)$  باشد،  $MAE$  از رابطه (۷) محاسبه می‌شود.

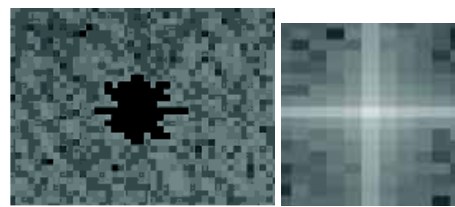
$$h(x, y) = f_e(x, y) - g_e(x, y) \quad (7)$$

$$MAE = \sum_{x=1}^N \sum_{y=1}^M |h(x, y)|$$

نوافه اعمال شده، به صورت مجموع دو مؤلفه سینوسی با دامنه یکسان در حوزه مکان، در نظر گرفته شده است. برای الگوریتم‌های مورد مقایسه، آستانه و اندازه در نظر گرفته شده برای فیلتر میانگین، بهترین  $15 \times 3$  و برای فیلتر میانه،  $6 \times 9$  بوده که با سعی و خطا بهینه شده‌اند. الگوریتم پیشنهادی برای تصاویر متعدد و در شرایط گوناگونی آزمایش شده است (بهنام پور، ۱۳۸۶) که در (شکل ۱۰)، نمونه‌ای از تصویر آلوده شده به نوافه تناوبی سینوسی و بازسازی آن با سه روش مورد مقایسه آمده است. جهت مقایسه بهتر دیداری نتایج، تصاویر خروجی فیلترها، همسان‌سازی هیستوگرام شده‌اند تا اختلافات آن‌ها با تصویر اصلی بدون نوافه، بارزتر شود.



(شکل ۱۰): تصویر آلوده به نوافه (الف) و تصاویر اصلاح شده با فیلتر میانگین (ب)، فیلتر میانه (ج) و فیلتر میانه تطبیقی (د).



(شکل ۹): بزرگنمایی در محل ستاره‌گونه فرکانس نوافه (راست) و ماسک پوشاننده مؤلفه‌های نوافه‌ای محاسبه شده (چپ)

## ۵- فیلتر میانه تطبیقی پیشنهادی

هنگام استفاده از فیلتر میانه فرکانسی مرسوم، تعیین اندازه پنجره فیلتر و همچنین مقدار آستانه ( $\theta$  در رابطه ۱) به طور کامل تجربی بوده و وابسته به شدت نوافه یا پهنهای باند اشغالی در فضای فرکانسی باید انتخاب گردد؛ اما اگر تصویر ورودی آلوده به چندین نوافه تناوبی (به عنوان مثال شامل چندین سینوسی) و درنتیجه مؤلفه‌های زیاد و متفاوت از نظر پهنهای باند در حوزه فرکانس باشد، انتخاب اندازه پنجره فیلتر مناسب و مقدار آستانه یکسان برای همه فرکانس‌ها، کاری دشوار بوده و در عمل این فیلتر، پاسخ خوبی در حذف نوافه تناوبی نمی‌دهد. مشکل دیگر فیلتر میانه زمان اجرای بسیار بالای آن است. محاسبه میانه برای پیکسل‌های درون پنجره فیلتر برای تمامی فرکانس‌های طیف، بار محاسباتی بالایی دارد. این محاسبات با افزایش اندازه پنجره، بسیار بالا می‌رود. زمان اجرای فیلتر وابسته به اندازه پنجره بوده و با مقدار پهنهای باند آلوده به نوافه وابستگی ندارد.

در روش پیشنهادی، اعمال فیلتر میانه فقط برای مؤلفه‌های نوافه‌ای محاسبه شده انجام می‌گیرد. از طرفی آزمایش‌های انجام شده نشان داده است که در نظر گرفتن پنجره مربعی (□) برای اعمال میانه با پنجره به علاوه‌شکل (+) تفاوتی ندارد، ولی حجم محاسباتی پنجره به علاوه‌شکل بسیار کمتر است. بنابراین در روش پیشنهادی از پنجره به علاوه‌شکل استفاده شده است. مشکل دیگر روش میانه فرکانسی، اندازه پنجره میانه بود که باید ثابت انتخاب شود. در روش پیشنهادی، اندازه پنجره به علاوه‌شکل هر مؤلفه نوافه‌ای، به اندازه سه برابر ابعاد نوافه تناوبی متناظر که در قسمت قبلی محاسبه گردید، در نظر گرفته می‌شود.

## ۶- پیاده‌سازی و مقایسه نتایج

فیلتر میانه تطبیقی پیشنهادی و فیلترهای میانگین و میانه در حوزه فرکانس در محیط MATLAB پیاده‌سازی گردیده (Gonzalez, et al., 2009) و از لحاظ کارآیی با دیدگاه بهبود کیفیت ایجاد شده (از لحاظ چشمی و همچنین توسعه پارامترهای آماری) مقایسه شدند.

<sup>1</sup> Mean Absolute Error  
سال ۱۳۸۹ شماره ۲ پیاپی ۱۴

رابطه (۸)، محاسبه و متوسط این مقادیر در (جدول ۱) آمده است. نتایج نشان داده شده در (شکل ۱۴) به همراه نتایج (جدول ۱) نشان دهنده کارآیی روش پیشنهادی در شرایط مختلف نوافه و تصویر می باشد.

(جدول ۱): متوسط نسبت میانگین خطای مطلق تصویر اصلاحی و تصویر اصلی به میانگین خطای مطلق تصویر آلوده و تصویر اصلی و همچنین نسبت انحراف استاندارد تصویر اصلاحی و تصویر اصلی به انحراف استاندارد تصویر آلوده و تصویر اصلی از تصاویر آلوده (شکل ۱۱)

People	Cameraman	Lena	
0.245	0.263	0.222	MAE2/MAE1
0.297	0.312	0.296	STD2/STD1

در (شکل ۱۵) نیز نتایج اعمال الگوریتم پیشنهادی در کاهش اثر نوافه تناوبی قطری غیر سینوسی آمده است که نوافه تناوبی مشابه پالس متنابوب در حوزه مکان بوده و مؤلفه های مختلفی را در حوزه فرکانس آلوده کرده است.

از معیارهای مهم دیگر در مقایسه روش های کاهش نوافه، مقایسه پیچیدگی محاسباتی و زمان اجرای الگوریتم هاست. از آنجایی که استفاده از نرم افزار MATLAB جهت مقایسه زمان اجرا، نتایج قابل اعتمادی نخواهد داشت، الگوریتم های مورد مقایسه توسط کتابخانه خواهد بود، الگوریتم Intel از شرکت OpenCV تهیه شده برای ماشین بینایی بلادرنگ است (Bradski, et al., 2008)، در محیط Visual C++ پیاده شده و از لحظه زمانی مورد ارزیابی قرار گرفته است.

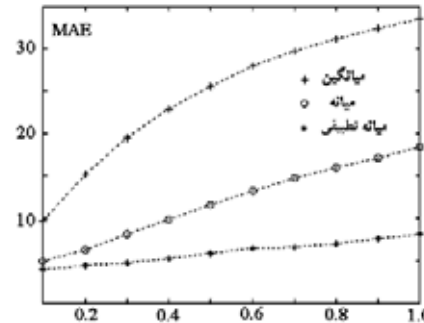
در (جدول ۲) زمان نسبی اجرای سه روش مورد مقایسه قرار گرفته است. برای این منظور زمان اجرای روش میانگین، مبنای قرار داده شده و دو روش دیگر نسبت به آن سنجیده شده اند. همان طور که قابل پیش بینی بود، روش پیشنهادی سرعت بسیار بهتری از روش میانگین در فضای فرکانس و حتی سرعت آن تشنیص صحیح فرکانس های نوافه تناوبی و گستره آن و اعمال فیلتر میانه در حوزه فرکانس فقط برای آن فرکانس های می باشد. لازم به ذکر است زمان سنجی انجام شده شامل پیاده سازی تبدیل فوریه سریع<sup>۱</sup> (FFT) دو بعدی و معکوس آن نیز می باشد.

(جدول ۲): مقایسه بار محاسباتی نسبی فیلتر های میانه و میانه تطبیقی پیشنهادی نسبت به مرجع زمانی فیلتر میانگین، اجرا شده توسط OpenCV

فیلتر مورد مقایسه	فیلتر میانه	فیلتر میانگین	فیلتر میانه تطبیقی
زمان نسبی اجرا	۱۵/۵۶	۱/۰	۰/۵۷

<sup>۱</sup> Fast Fourier Transform

در نمودار (شکل ۱۱)، برای تصویر آلوده شده (شکل ۱۰)، دامنه نوافه متغیر فرض شده و مقدار MAE سه روش مقایسه شده اند. بررسی نمودار نشان می دهد با افزایش دامنه نوافه تناوبی، فیلتر پیشنهادی، پاسخ های بهتری نسبت به دو فیلتر موجود دارد.



(شکل ۱۱): نمودار مقادیر MAE بر حسب دامنه سیگنال های سینوسی های مختلف در تصویر (شکل ۹) و برای فیلتر های میانگین، میانه و میانه تطبیقی پیشنهادی

در (شکل ۱۲) مراحل بهبود تصویر آلوده به نوافه تناوبی با فیلتر میانه تطبیقی پیشنهادی در حوزه فرکانس برای یک تصویر آلوده به چند نوافه تناوبی با فرکانس ها و شدت های مختلف (Gonzalez and Woods, 2007) به نمایش در آمده است. (شکل ۱۳) نیز مراحل حذف نوافه تناوبی از روی تصویر گرفته شده از پخش آنالوگ شبکه سه سیما که به خاطر اختلالات فرکانسی ناشی از ضعیف بودن سیگنال آنتن، دچار چندین نوافه تناوبی شده را توسط فیلتر میانه تطبیقی پیشنهادی نشان می دهد.

برای نمایش کارایی الگوریتم پیشنهادی در حالت های مختلف نوافه متنابوب و تصاویر ورودی، سه تصویر Lena و Cameraman (Gonzalez and Woods, 2007) People از لحظه توزیع فرکانسی، متفاوت هستند، انتخاب شده و با سه نوافه شبکه تناوبی مختلف در رابطه (۸) آمده است، آلوده گردیده است. تصاویر نوافه های و اصلاح شده پس از اعمال روش پیشنهادی در (شکل ۱۴) آمده است.

$$\begin{aligned}
 N1 &= 1 + 0.2 \times \text{Sin}(2x+2y) + 0.2 \times \text{Sin}(0.5x+0.5y) \\
 N2 &= 1 + 0.2 \text{Sin}(1.1x+1.1y) + 0.2 \text{Sin}(1.5x) \\
 &\quad + 0.2 \text{Sin}(1.5y) + 0.2 \text{Sin}(1.1x-1.1y) \\
 N3 &= 1 + 0.2 \times \text{Sin}(1.9x+1.9y) + 0.2 \times \text{Sin}(x+y) \\
 &\quad + 0.2 \times \text{Sin}(2.2x+2.2y) + 0.2 \times \text{Sin}(1.5x+1.5y) \\
 &\quad + 0.2 \times \text{Sin}(0.4x+0.4y)
 \end{aligned} \tag{۸}$$

نسبت میانگین خطای مطلق (MAE) تصویر اصلاحی و تصویر اصلی به میانگین خطای مطلق تصویر آلوده و تصویر اصلی (MAE2/MAE1) و همچنین نسبت انحراف استاندارد تصویر اآلوده و تصویر اصلی (STD2/STD1) برای این سه تصویر آلوده شده با هر سه نوع نوافه ذکر شده در



- Bradski, G., Kaehler, A., Adrian, K., 2008. Learning OpenCV: Computer Vision with the OpenCV Library, O'Reilly Media.
- Castelli, V., Bergman, L.D., 2002. Image Databases, Search and Retrieval of Digital Imagery, John Wiley & Sons.
- Drigger, R., Cox, P., Edwards, T., 1999. Introduction to Infrared & Electro-Optical System, Artech House.
- Gonzalez, R.C., Woods, R.E., 2007. Digital Image Processing, 3<sup>rd</sup> Edition, Prentice Hall.
- Gonzalez, R.C., Woods, R.E., Eddins S.L. 2009. Digital Image Processing using MATLAB, Gatesmark Publishing, 2<sup>nd</sup> edition.
- Ji, T.Y., Li, M.S., Lu, Z., Wu, Q.H., 2008. Optimal morphological filter design using a bacterial swarming algorithm, IEEE Congress on Evolutionary Computation (CEC 2008), pp. 452-458.
- Ji, T.Y., Lu, Z., Wu, Q.H., 2007. Optimal soft morphological filter for periodic noise removal using a particle swarm optimiser with passive congregation, Signal Processing, Vol. 87, Issue 11, pp. 2799-2809.
- Schowengerdt, R.A., 1997. Remote Sensing: Models and Methods for Image processing, 2<sup>nd</sup> Edition, Academic Press.
- Smolka, B., 2004. Nonlinear Techniques of Noise Reduction in Digital Color Images, Silesian University Press, Poland.
- Snyder, W., Qi, H., 2002. Machine Vision, Cambridge University Press.
- Szeliski, R., 2010. Computer Vision: Algorithms and Applications, Springer.
- Venkateswarlu, R., Sujata, K.V., Venkateswara Rao, B., 1992. Centroid Tracker and Point Selection, SPIE Proceedings, Vol. 1697, pp. 520-529.

بهنامپور، طراحی و شبیه‌سازی پالایه‌های مختلف جهت حذف نویه تناوبی از تصاویر دیجیتال و مقایسه نتایج، پایان‌نامه کارشناسی ارشد رشته الکتروپیک، دانشگاه صنعتی مالک اشتر، زمستان ۱۳۸۶.

علم پ، بهنامپور، طراحی فیلتر برشی بهینه هوشمند به منظور کاهش اثر نویه تناوبی، سومین کنفرانس فن‌آوری اطلاعات و دانش، دانشگاه فردوسی مشهد، آذر ۱۳۸۶.

علم پ، شائمه ع، پیاده سازی بلاذرنگ و کم هزینه الگوریتم مرکز شدت برای ردیابی موقعیت هدف در ویدیو، فصلنامه علمی تخصصی مهندسی برق مجلسی، شماره اول، صفحات ۴۳ الی ۵۲، تابستان ۱۳۸۶.

سال ۱۳۸۹ شماره ۲ پیاپی ۱۴

## ۷- نتیجه‌گیری

در این مقاله یک فیلتر میانه تطبیقی جهت کاهش اثر نویه تناوبی در تصاویر دیجیتال مطرح گردید. به کمک الگوریتم پیشنهادی، تمام مؤلفه‌های فرکانسی آلووده به نویه در حوزه فرکانسی تشخیص داده شده و به کمک روش پیشنهادی رشد ناحیه، تقطیع می‌گردد. در ادامه، فقط برای فرکانس‌های نویه تناوبی که در قسمت قبلی آشکار و تقطیع شده‌اند، یک فیلتر میانه به علاوه‌شکل، با اندازه سه برابر اندازه ناحیه نویه تناوبی، در حوزه فرکانس اعمال شده و طیف تصویر فیلتر شده در حوزه فرکانس محاسبه می‌شود. درنهایت با محاسبه معکوس تبدیل فوریه، تصویر فیلتر شده در حوزه مکان بازیابی می‌شود.

فیلتر میانه تطبیقی پیشنهادی، با فیلتر میانه و میانگین در حوزه فرکانس، بهصورت کمی و کیفی مورد مقایسه قرار گرفت که بیان گر نتایج بهتر فیلتر میانه تطبیقی بود. مقایسه نتایج نشان می‌دهد که روش پیشنهادی، جزیيات کمتری را از تصویر اصلی حذف کرده و در عین حال، نویه تناوبی را نیز بیشتر تضعیف می‌کند. بهخصوص در تصاویری که نویه چند قسمتی با فرکانس‌ها و پهنای باندهای آلووده مختلفی وجود داشته باشد، فیلتر پیشنهادی بهصورت وفقی، مؤلفه‌های آلووده را تشخیص می‌دهد. هم‌چنین از نظر زمان اجرایی این فیلتر بسیار سریع‌تر از فیلتر میانه در حوزه فرکانس و حتی سریع‌تر از فیلتر میانگین در حوزه فرکانس بوده و کیفیت عملکرد آن نیز از هر دو فیلتر مورد مقایسه، حتی فیلتر میانه در حوزه فرکانس، بهتر می‌باشد.

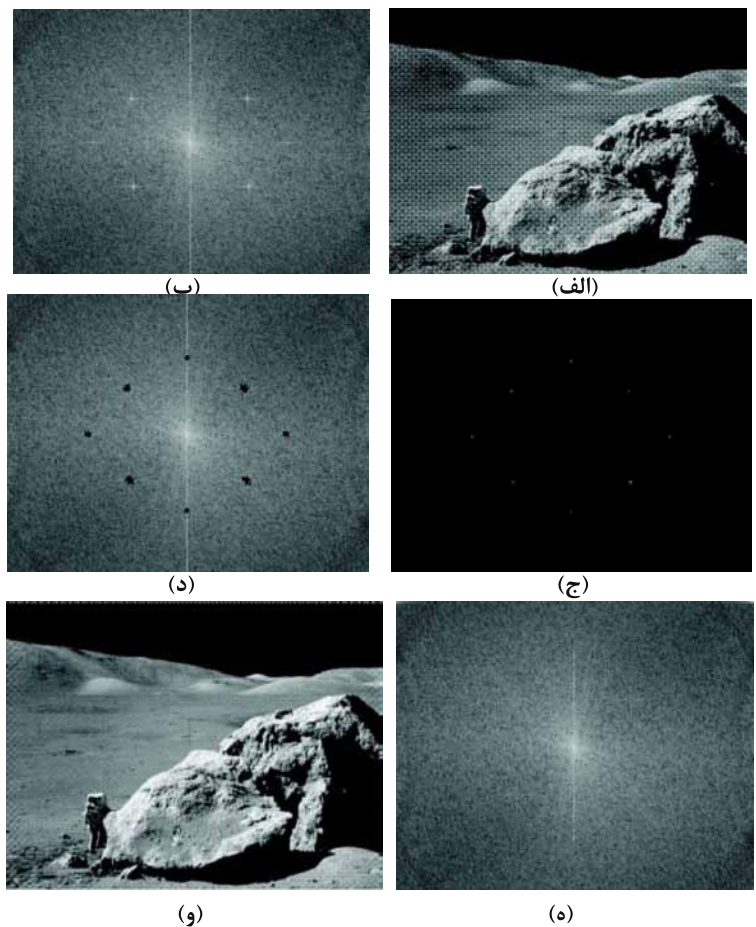
در انتها ذکر این نکته ضروری است که روش پیشنهادی برای حذف نویه تناوبی تصاویری که حاوی الگوهای شبکه‌ناوبی بوده، مانند تصاویر متون چاپی، کارآیی چندانی نداشته و در این موارد لازم است از روش‌های جایگزین استفاده شود.

## ۸- مراجع

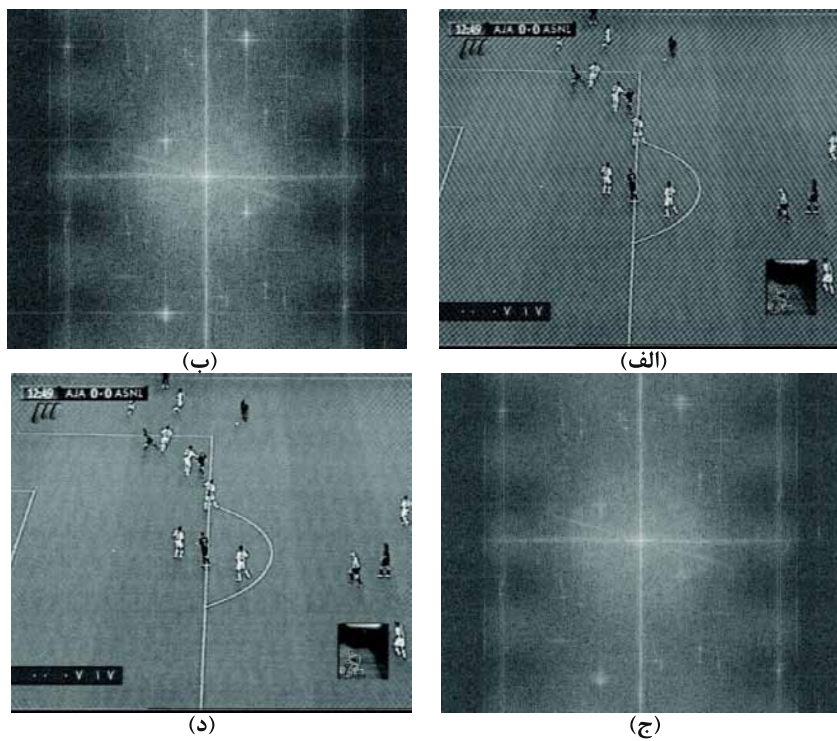
Aizenberg, I., Butakoff, C., 2008. A windowed Gaussian notch filter for quasi-periodic noise removal, Image and Vision Computing, Vol. 26, Issue 10, pp. 1347-1353.

Aizenberg, I., Butakoff, C., Astola, J., Egiazarian, K., 2002. Nonlinear Frequency Domain Filter for the Quasi-Periodic Noise Removal, International TICSP Workshop on Spectral Methods and Multirate Signal Processing, pp. 147-153.

Aizenberg, I., Butakoff, C., 2002. Frequency Domain Median-like Filter for Periodic and Quasi-Periodic Noise Removal, SPIE Proceedings, Vol. 4667, pp. 181-191.



(شکل ۱۲): اصلاح نوفةٰ تناوبی با کمک با فیلتر میانهٰ طبیقی پیشنهادی در حوزهٰ فرکانس. (الف) تصویر آلوده شده با یک نوفةٰ تناوبی چند فرکانسی (ب) طیف فرکانسی تصویر آلوده. (ج) فرکانس مؤلفه‌های اصلی نوفةٰ های تناوبی (نقاط سفید) (د) تصویر ماسک یافته شده برای فرکانس‌های مختلف نوفةٰ تناوبی (نواحی سیاه) (ه) طیف فرکانسی تصویر اصلاح شده (و) تصویر اصلاح شدهٰ نهایی.



(شکل ۱۳): اصلاح نوفةٰ تناوبی به کمک فیلتر میانهٰ طبیقی پیشنهادی در حوزهٰ فرکانس، برای یک نمونهٰ تصویر واقعی آگشته به نوفةٰ تناوبی ناشی از ضعیف بودن سیگنال تلویزیونی (الف) تصویر تلویزیونی آلوده به نوفةٰ تناوبی واقعی. (ب) نمایش حوزهٰ فرکانس تصویر آلوده به نوфе. (ج) اعمال فیلتر میانهٰ طبیقی در حوزهٰ فرکانس. (د) تصویر اصلاح شدهٰ نهایی.



(الف) نتایج اعمال الگوریتم پیشنهادی برای نویه N1 در رابطه (۸) بر روی تصاویر مختلف

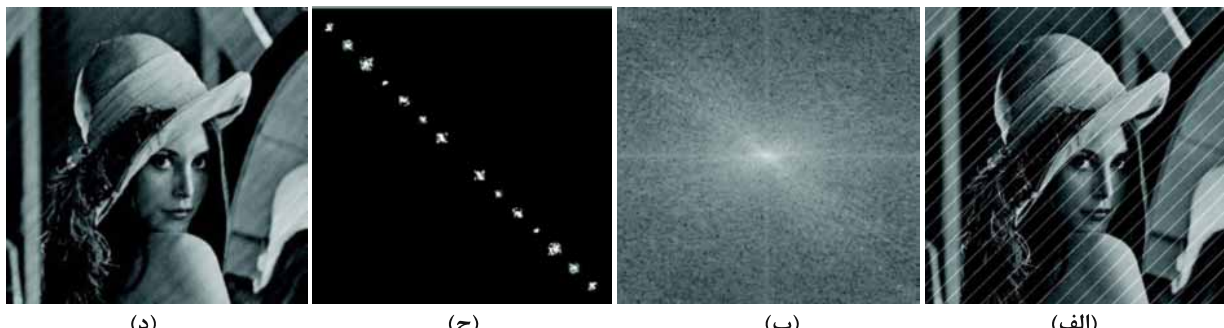


(ب) نتایج اعمال الگوریتم پیشنهادی برای نویه N2 در رابطه (۸) بر روی تصاویر مختلف



(ج) نتایج اعمال الگوریتم پیشنهادی برای نویه N3 در رابطه (۸) بر روی تصاویر مختلف

(شکل ۱۴): نتایج اعمال فیلتر میانه تطبیقی پیشنهادی به سه تصویر cameraman و people که از لحاظ توزیع فرکانسی، تصاویری متفاوت می‌باشند و تحت تأثیر سه نویه شبه تناوبی مختلف قرار گرفته‌اند. تصاویر الف، ب و ج، به ترتیب نتایج اعمال نویه‌های N1، N2 و N3 در رابطه (۸) بوده که در آن‌ها، سطر اول شکل‌ها، تصویر نویه‌ای و سطر دوم تصویر بازسازی شده بعد از اعمال فیلتر میانه تطبیقی پیشنهادی است.



(د)

(ج)

(ب)

(الف)

(شکل ۱۵): اصلاح نویه تناوبی به کمک فیلتر میانه تطبیقی پیشنهادی در حوزه فرکانس برای نویه متناوب قطعی غیر سینوسی که به صورت پالس متناوب در حوزه مکان بوده و مؤلفه‌های متعددی را در حوزه فرکانس آلوده کرده است. (الف) تصویر اصلی آلوده شده به نویه تناوبی، (ب) طیف تصویر آلوده شده، (ج) فرکانس‌های نویه تناوبی آشکار شده توسط الگوریتم پیشنهادی (د) تصویر اصلاح شده نهایی توسط الگوریتم پیشنهادی.

صنعتی مالک اشتهر در سال ۱۳۸۵ اخذ نمود. زمینه‌های تحقیقاتی ایشان، پردازش تصویر و ویدیو، سیستم‌های الکتروپاتیک و لیزر با کاربرد هوایی می‌باشد.  
نشانی رایانامک ایشان عبارت است از:

[Majidbehnam20@gmail.com](mailto:Majidbehnam20@gmail.com)



**سیدامیرحسن منجمی، کارشناسی**  
مهندسی برق / کامپیوتر خود را از دانشگاه صنعتی اصفهان در سال ۱۳۶۹ اخذ نمود، سپس در سال ۱۳۷۲ در رشته مهندسی کامپیوتر، هوش ماشین و رباتیک، موفق به اخذ مدرک فوق لیسانس از دانشگاه شیراز گردید. ایشان دکتری مهندسی کامپیوتر، پردازش تصاویر و تشخیص الگوی خود را نیز از دانشگاه بریستول انگلستان در سال ۱۳۸۳ اخذ نموده است. نامبرده اکنون به عنوان دانشیار گروه مهندسی کامپیوتر، دانشکده مهندسی، دانشگاه اصفهان مشغول به کار است. سرفصل‌های تحقیقاتی مورد علاقه ایشان، پردازش تصاویر و بینایی ماشین، شبکه‌های عصبی، و امحای فیزیکی ویروس‌ها می‌باشد.

نشانی رایانامک ایشان عبارت است از:  
[monadjemi@eng.ui.ac.ir](mailto:monadjemi@eng.ui.ac.ir)

**پیمان معلم** متولد ۱۳۴۹ در تهران، دانش آموخته کارشناسی و کارشناسی ارشد مهندسی الکترونیک، به ترتیب در سال ۱۳۷۰ و ۱۳۷۴ از دانشگاه صنعتی اصفهان و دانشگاه صنعتی امیرکبیر، می‌باشد. نامبرده در سال ۱۳۸۲ موفق به اخذ درجه دکترا در مهندسی برق از دانشگاه صنعتی امیرکبیر گردید. دکتر معلم از سال ۱۳۸۲ به عنوان عضو هیأت علمی در دانشگاه اصفهان، مشغول خدمت گردید و هم اکنون دانشیار گروه مهندسی برق دانشکده فنی و مهندسی دانشگاه اصفهان می‌باشد. زمینه‌های علمی مورد علاقه ایشان شامل موضوعاتی مانند پردازش تصاویر، توسعه شبکه‌های عصبی و پردازش هوشمند سیگنال‌ها می‌باشد. اجرای بیش از ۲۰ پژوهه کاربردی، تألیف بیش از ۱۷۰ عنوان مقاله در مجلات و کنفرانس‌های معتبر بین‌المللی و ملی و نیز تألیف دو عنوان کتاب در فعالیت‌های پژوهشی ایشان دیده می‌شود. ایشان در سال‌های ۱۳۸۸ و ۱۳۹۰ به عنوان پژوهش‌گر برتر استان اصفهان در حوزه مهندسی انتخاب شده‌اند.

نشانی رایانامک ایشان عبارت است از:

[p\\_moallem@eng.ui.ac.ir](mailto:p_moallem@eng.ui.ac.ir)



**مجید بهنام پور** تحصیلات خود را در مقطع کارشناسی در رشته مهندسی برق-الکترونیک در سال ۱۳۸۲ در دانشگاه آزاد اسلامی نجف آباد به پایان رساند. وی مدرک کارشناسی ارشد خود را در رشته مهندسی الکتروپاتیک و لیزر از دانشگاه

فصل پنجم  
دوم

سال ۱۳۸۹ شماره ۲ پیاپی ۱۴